

05.2; 09; 12

© 1991

КОМПОЗИЦИОННЫЕ СТРУКТУРЫ С ВЫСОКОЙ
СВЧ - МАГНИТНОЙ ПРОНИЦАЕМОСТЬЮ,
ПРИБЛИЖАЮЩЕЙСЯ К ДИЭЛЕКТРИЧЕСКОЙ

Ю.Н. Казанцев, М.В. Костин,
Г.А. Крафтмакер, В.В. Шевченко

Известно, что для магнитных металлов и сплавов характерно высокое значение магнитной проницаемости μ на СВЧ. Так, в сантиметровом диапазоне величина магнитной проницаемости железа достигает 10^2 . Однако, как ни велика магнитная проницаемость, она остается на несколько порядков меньше диэлектрической проницаемости ($|\epsilon| \approx 10^6$).

Задача создания и поисков материалов с максимально возможной величиной μ , близкой к ϵ , таким образом, сводится к проблеме уменьшения ϵ при сохранении величины μ .

В данной работе показано, что можно создать композиционный материал на основе пленочных включений с размерами много меньше длины волны, у которого магнитная проницаемость $\mu_{\text{эфф}}$ определяется произведением магнитной проницаемости включений μ на объемную концентрацию F

$$\mu_{\text{эфф}} = \mu F. \quad (1)$$

Диэлектрическая проницаемость же такого материала $\epsilon_{\text{эфф}}$ на несколько порядков меньше диэлектрической проницаемости включений ϵ , так, что

$$\frac{\epsilon_{\text{эфф}}}{\mu_{\text{эфф}}} \ll \frac{\epsilon}{\mu}. \quad (2)$$

Известные композиционные материалы на основе проводящих магнитных частиц железа сферической формы в диэлектрической матрице характеризуются (при концентрациях до порога протекания) относительно малыми значениями диэлектрической и магнитной проницаемости, что связано как с влиянием размагничивающих и деполяризующих факторов, так и со скрин-эффектом. Иными словами, относительно малые значения диэлектрической и магнитной проницаемостей такого материала связаны со слабым проникновением электромагнитного поля в частицы. Поэтому даже увеличение концентрации наполнителя до 50 % позволяет достичнуть только значение $|\mu_{\text{эфф}}| = (0.1 - 0.2) \mu$ [1].

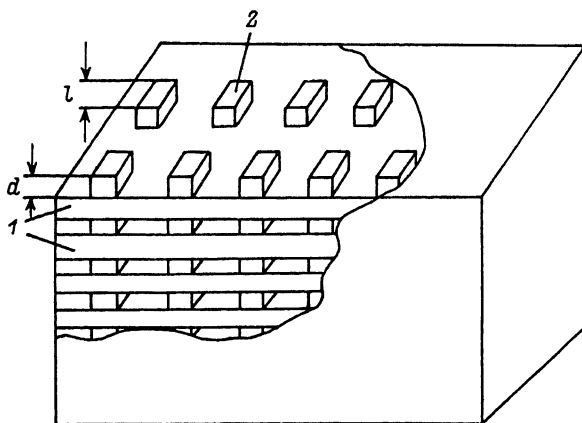


Рис. 1. Многослойная композиционная структура. 1 – диэлектрические пленки – подложки, 2 – периодическая структура из проводящих изолированных квадратов.

В предлагаемой структуре применяются проводящие магнитные включения в виде параллельных пленок толщиной d , близкой к скин-слою d_{sk} , что обеспечивает в геометрии нулевого размагничивающего фактора эффективное взаимодействие магнитного высокочастотного поля с пленкой. Взаимодействие же электрического высокочастотного поля с пленкой в данном случае уменьшено, что обусловлено малостью этого поля в пленке.

Качественно этот факт может быть пояснен граничными условиями для тангенциальных составляющих поля на металлической поверхности:

$$E_t = H_t W, \quad (3)$$

где $W = \sqrt{\frac{\mu}{\epsilon}} \ll 1$ – волновое сопротивление. Условие (3) остается справедливым и на поверхности не очень тонких пленок, вплоть до толщин порядка скин-слоя. Поскольку на поверхности и внутри таких пленок магнитное поле по порядку величины равно магнитному полю падающей волны, то и вклад магнитной проницаемости пленки в $\mu_{\text{эфф}}$ существен и приводит к соотношению (1). В то же время электрическое поле на границе и внутри пленки практически равно нулю, как это видно из (3). Это приводит к относительно небольшим значениям $\epsilon_{\text{эфф}}$ несмотря на огромное значение $|\epsilon|$ металлических пленок.

При переходе к пленкам существенно тоньше либо толще скин-слоя отмеченные выше уникальные свойства композиционной структуры исчезают.

Так, в пленках, очень тонких по сравнению со скин-слоем, электрические и магнитные поля равны соответствующим полям падающей волны. Поэтому $\mathcal{E}_{\text{эфф}}$, так же как и $M_{\text{эфф}}$, определяется произведением соответственно \mathcal{E} на объемную концентрацию включений:

$$\mathcal{E}_{\text{эфф}} = \mathcal{E} F. \quad (4)$$

При этом соотношение между $\mathcal{E}_{\text{эфф}}$ и $M_{\text{эфф}}$ по сравнению с \mathcal{E} и M самой пленки сохраняется:

$$\frac{\mathcal{E}_{\text{эфф}}}{M_{\text{эфф}}} = \frac{\mathcal{E}}{M}. \quad (5)$$

В случае же толстой по сравнению со скин-слоем пленки магнитное поле не проникает на всю толщину, и $M_{\text{эфф}}$ снижается по сравнению с M для $d \sim d_{\text{ск}}$ (при одинаковых концентрациях).

Предлагаемые композиционные структуры были реализованы и их электродинамические характеристики измерены в диапазоне 3–5 ГГц.

Образцы были выполнены в виде многослойной структуры из диэлектрических пленок толщиной 10–20 мкм (лавсановых и полимиидных), на которые методами фотолитографии наносилась периодическая структура из изолированных квадратов (магнитных, либо немагнитных) металлов и сплавов (рис. 1). В качестве магнитных включений были использованы пленки из магнитных аморфных сплавов. Обладая большей глубиной скин-слоя (в несколько раз) по сравнению с кристаллическими, они наиболее эффективно взаимодействуют с СВЧ – волной на большей толщине, малая толщина не всегда является химически устойчивой.

Поперечные размеры квадратов менялись от 1 мм до 100 мкм, а их толщины лежали в интервале от нескольких десятков ангстрем до нескольких микрон.

Были измерены комплексные эффективные диэлектрическая и магнитная проницаемости таких структур в геометрии нулевых деполяризующих и размагничивающих факторов.

Применялась резонаторная методика, при которой образцы помещались в пучность электрического поля и в пучность магнитного поля в соответствии с [2, 3]. При этом использовался ферромагнитный резонанс и ферромагнитный антирезонанс для установления точки отсчета [3].

Так, $\mathcal{E}'_{\text{эфф}}$ и $\mathcal{E}''_{\text{эфф}}$ композиционной структуры на основе пленок Al ($d \ll d_{\text{ск}}$) при объемной концентрации металла порядка 0.1 % составляют $\approx 10^2$, ($|E| \cdot 10^5$), что находится в соответствии с (5). При этом $\mathcal{E}'_{\text{эфф}}$ и $\mathcal{E}''_{\text{эфф}}$ практически не зависят от поперечного размера квадрата l (пока $l > 10d$, и не сказывается существенно влияние деполяризующего фактора).

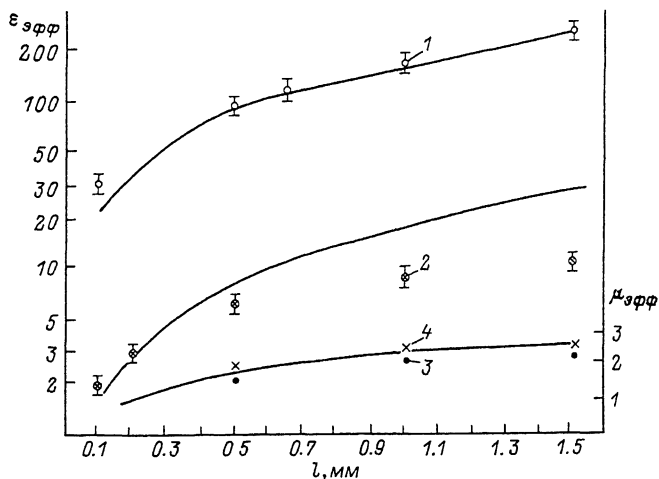


Рис. 2. Зависимость эффективных диэлектрической и магнитной проницаемостей многослойной композиционной структуры на основе проводящих квадратов из магнитного аморфного сплава $Fe_5Co_{69}Si_{15}B_{11}$ ($d \approx 1 \text{ мкм} \geq d_{ck}$). 1 - $\epsilon_{\text{эфф}}'$, 2 - $\epsilon_{\text{эфф}}''$, 3 - $\mu_{\text{эфф}}'$, 4 - $\mu_{\text{эфф}}''$. Сплошные кривые - теоретический расчет.

В то же время для композиционных структур с включениями $d \geq d_{ck}$ наблюдаются две существенные особенности. Первая из них заключается в том, что $\epsilon_{\text{эфф}}''$ оказывается существенно меньше (на несколько порядков) ϵ''_F проводящей пленки.

$$\epsilon_{\text{эфф}}'' \ll \epsilon''_F. \quad (6)$$

Вторая особенность заключается в том, что уменьшение поперечного размера включений l приводит к уменьшению $\epsilon_{\text{эфф}}'$ и $\epsilon_{\text{эфф}}''$.

Так, на рис. 2 представлены результаты измерений $\epsilon_{\text{эфф}}'$ и $\epsilon_{\text{эфф}}''$, $\mu_{\text{эфф}}'$ и $\mu_{\text{эфф}}''$ на частоте $f = 3.6 \text{ ГГц}$ композиционных структур ($d \geq d_{ck}$) при различных l изолированных квадратов (объемная концентрация металла составляет 5 %).

Теоретические оценки проводились для модельной структуры, представляющей собой сплюснутые эллипсоиды вращения, расположенные в среде с проницаемостями ϵ_m и μ_m . Расчет $\epsilon_{\text{эфф}}$ и $\mu_{\text{эфф}}$ проводился по формуле Онзагера-Ахиезера [4-6].

$$\begin{Bmatrix} \epsilon_{\text{эфф}} \\ \mu_{\text{эфф}} \end{Bmatrix} = \begin{Bmatrix} \epsilon_m \\ \mu_m \end{Bmatrix} \left[1 + \frac{3}{4} \left(4\pi x - 1 + \sqrt{1 + \frac{8\pi}{3}x + 16\pi^2 x^2} \right) \right], \quad (7)$$

где $\chi = N\chi_0$ - комплексная восприимчивость единицы объема в предположении отсутствия взаимодействий между элементами структуры (малые концентрации); N - концентрация, равная числу элементов в единице объема; χ_0 имеет смысл восприимчивости одного элемента структуры и определяется из выражения для дипольного момента сплюснутого эллипсоида [7-8].

Численный расчет зависимостей $\epsilon_{\text{эфф}}$ и $\mu_{\text{эфф}}$ модельной структуры представлен сплошными кривыми на рис. 2, где под размером включений l подразумевается величина большой оси эллипсоида, малая ось которого равна толщине пленки, используемой в эксперименте. Параметры пленок многослойной структуры для расчетов были взяты из [3, 9].

Из рис. 2 видно, что величины $\epsilon_{\text{эфф}}$ и $\epsilon''_{\text{эфф}}$ падают с уменьшением l , в то время как $\mu'_{\text{эфф}}$ и $\mu''_{\text{эфф}}$ практически не зависят от l . С увеличением длины волны $\epsilon_{\text{эфф}}$ и $\mu_{\text{эфф}}$ таких структур сближаются, поскольку μ магнитных металлов растет (соответственно и $\mu_{\text{эфф}}$), а $\epsilon_{\text{эфф}}$ не меняется.

Таким образом, можно создать композиционные материалы с высокими для столь малой концентрации значениями эффективной магнитной проницаемости $\mu_{\text{эфф}} (|\mu_{\text{эфф}}| \approx 2)$ при умеренных значениях эффективной диэлектрической проницаемости $\epsilon_{\text{эфф}} (\epsilon'_{\text{эфф}} \approx 30, \epsilon''_{\text{эфф}} \approx 2)$.

Список литературы

- [1] Антонов А.С., Панина Л.В., Сарычев А.К. // ЖТФ. 1989. Т. 59. В. 6. С. 88-94.
- [2] Казанцев Ю.Н., Крафтмакер Г.А. // ФММ. 1989. Т. 67. В. 5. С. 902-908.
- [3] Казанцев Ю.Н., Крафтмакер Г.А., Глазер А.А., Потапов А.П., Тагиров Р.И. // ФММ. 1991. № 3. С. 116-121.
- [4] Ахиезер А.И. Общая физика: электрические и магнитные явления. Справочное пособие. Киев: Наук. думка, 1981. 471 с.
- [5] Костин М.В., Шевченко В.В. Искусственный магнетик на основе кольцевых токов. // РЭ. 1988. Т. 33. № 7. С. 1526-1531.
- [6] Костин М.В. // РЭ. 1990. Т. 35. № 2. С. 424-426.
- [7] Борен К., Хафмен Д. Поглощение и рассеяние света малыми частицами. М.: Мир, 1986. 660 с.
- [8] Ландау Л.Д., Лифшиц И.М. Электродинамика сплошных сред. М.: Наука, 1982. 620 с.

[9] Костин М.В., Казанцев Ю.Н., Крафт-
макер Г.А., Шевченко В.В. // Письма в
ЖТФ. 1990. Т. 16. В. 13. С. 22-25.

Институт
радиотехники
и электроники
АН СССР,
Фрязинская часть

Поступило в Редакцию
28 октября 1991 г.